

2 / 12

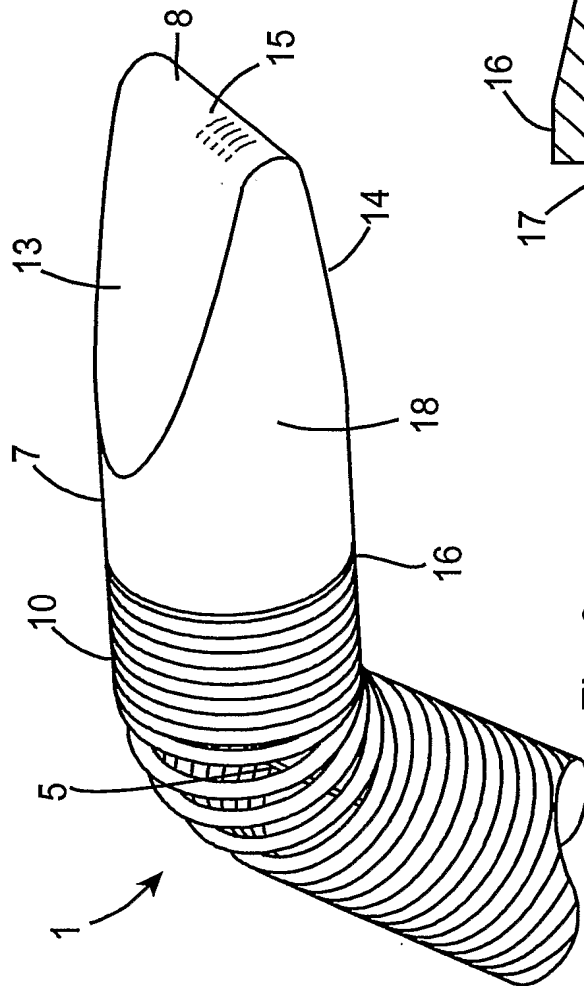


Fig. 3

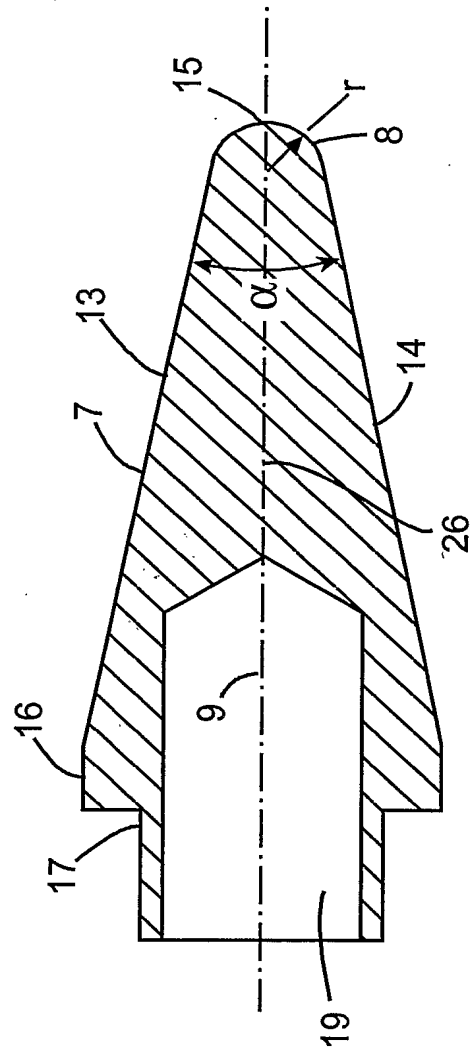


Fig. 7

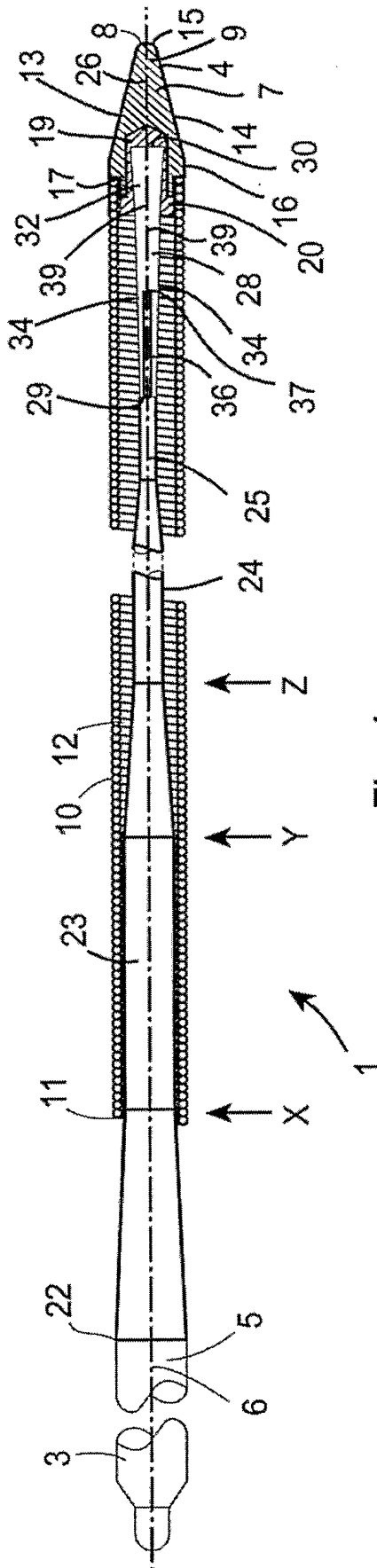


Fig. 4

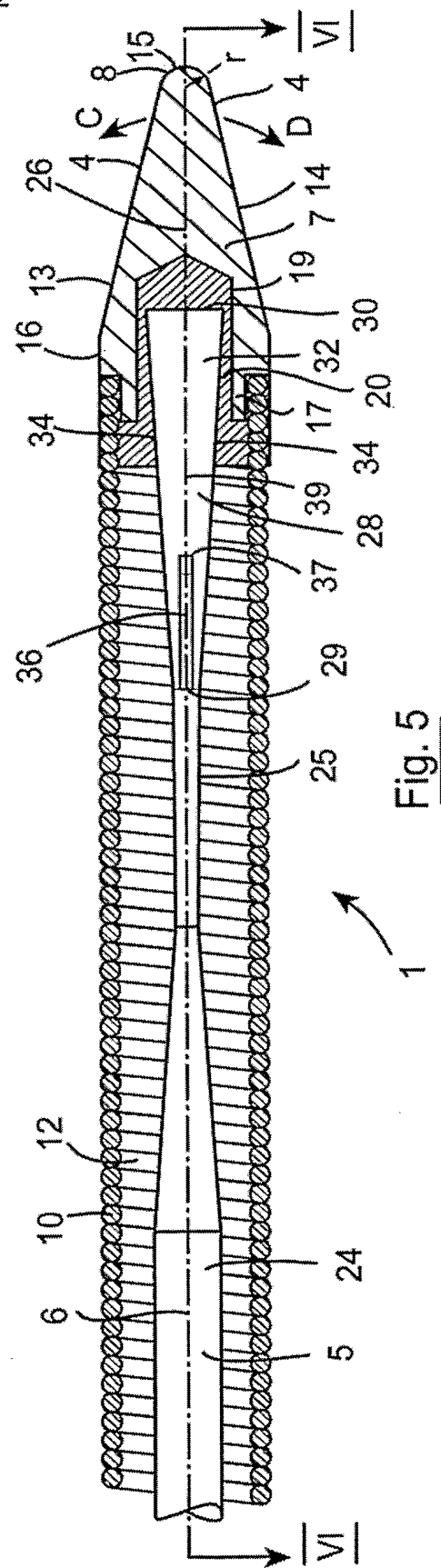


Fig. 5

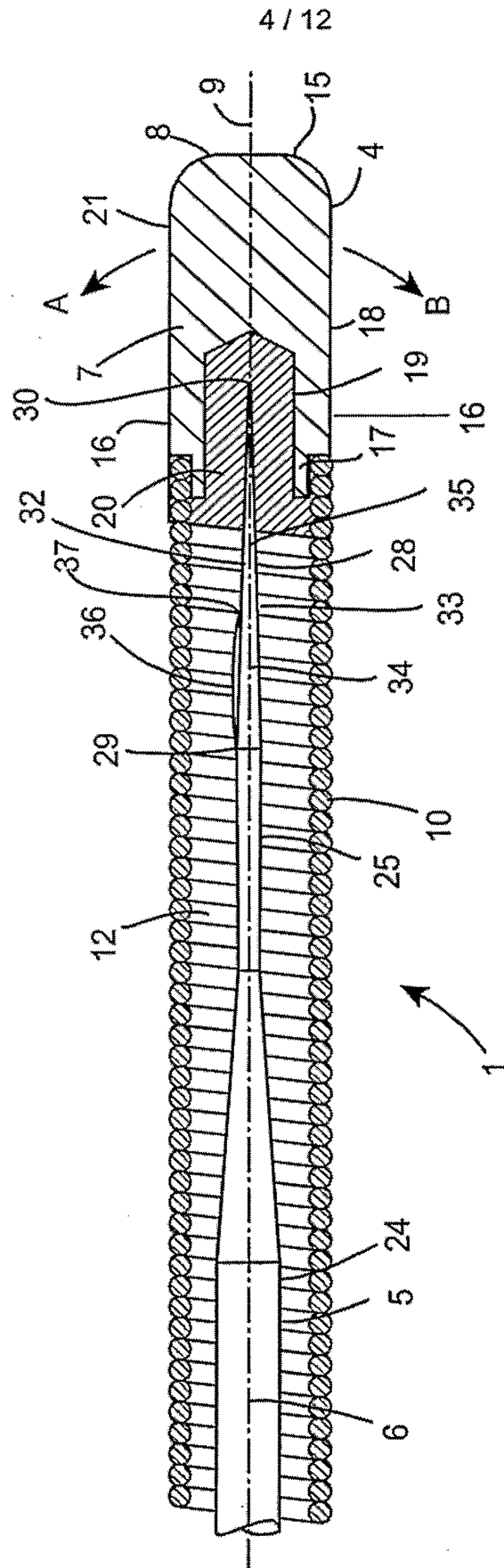


Fig. 6

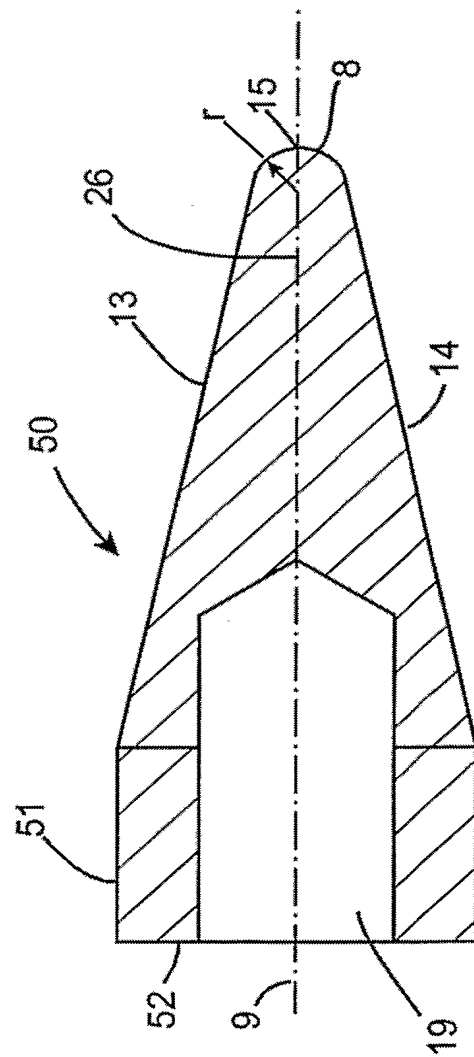


Fig. 11

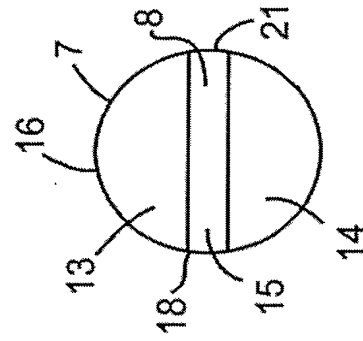
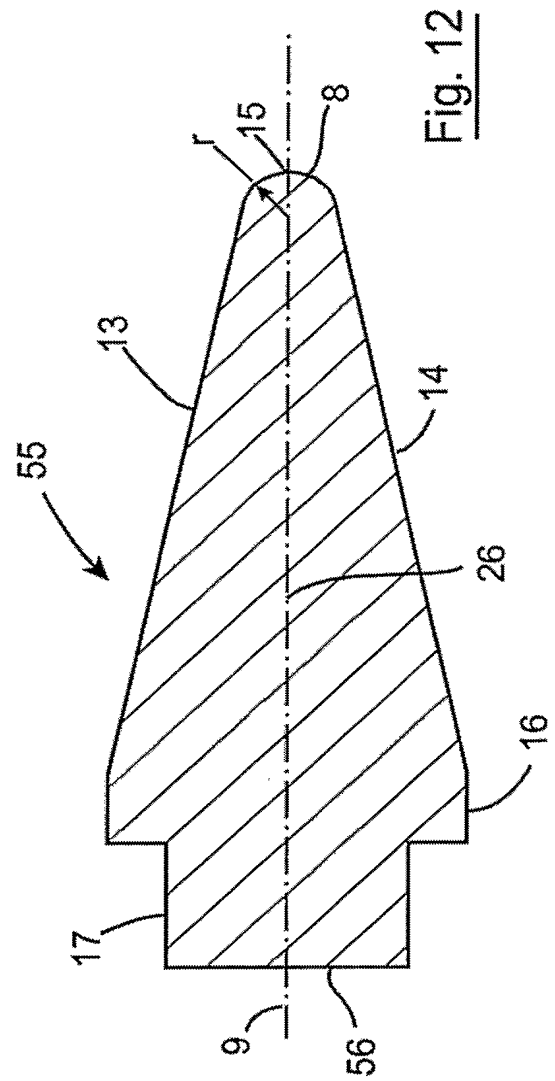
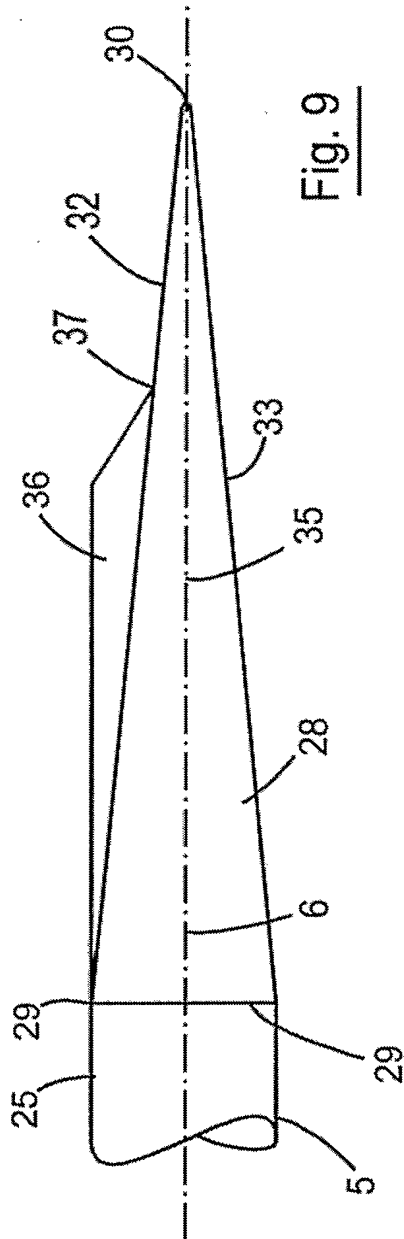


Fig. 8



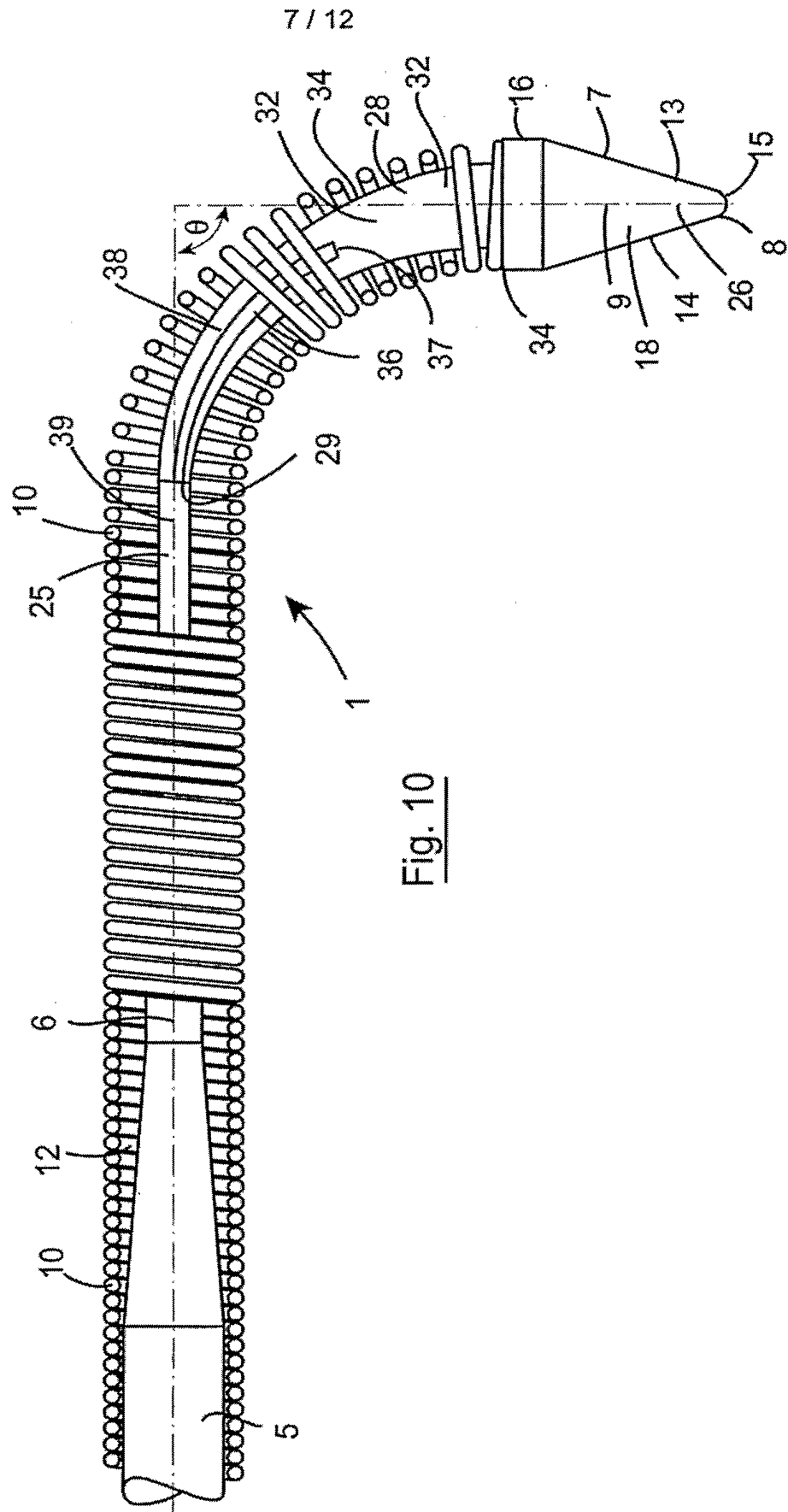
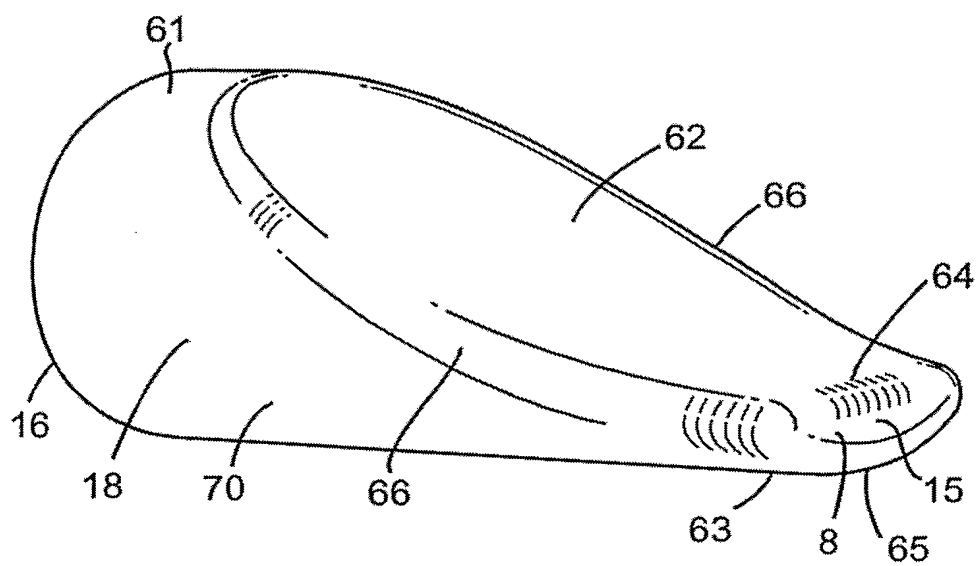
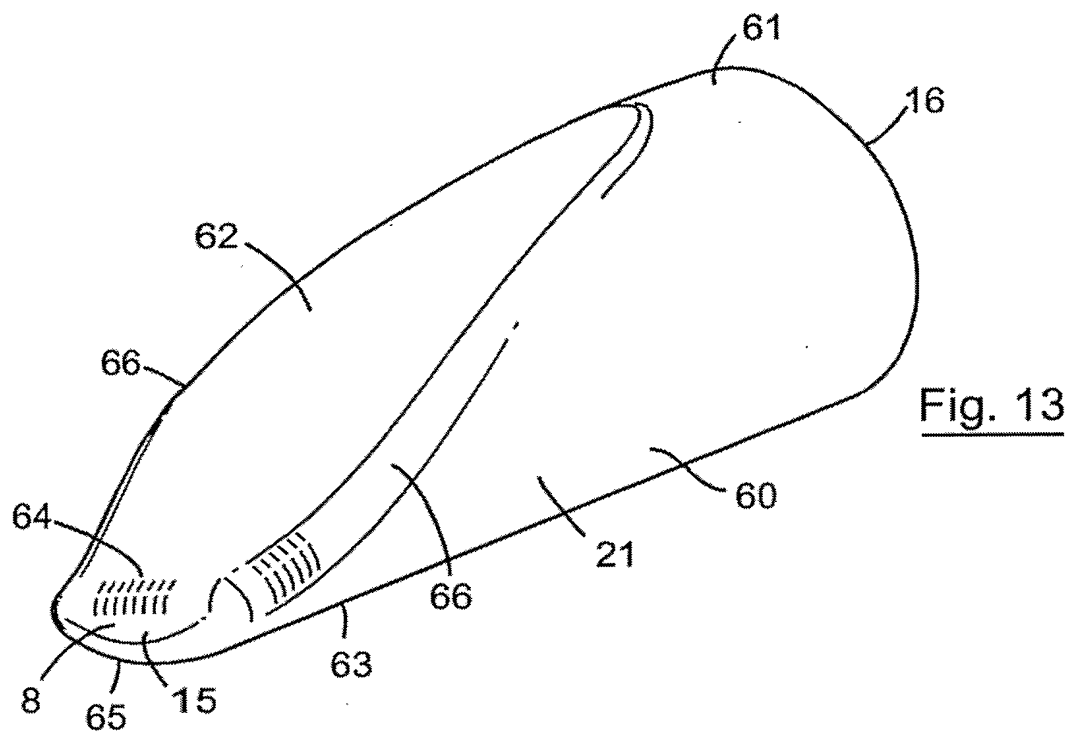
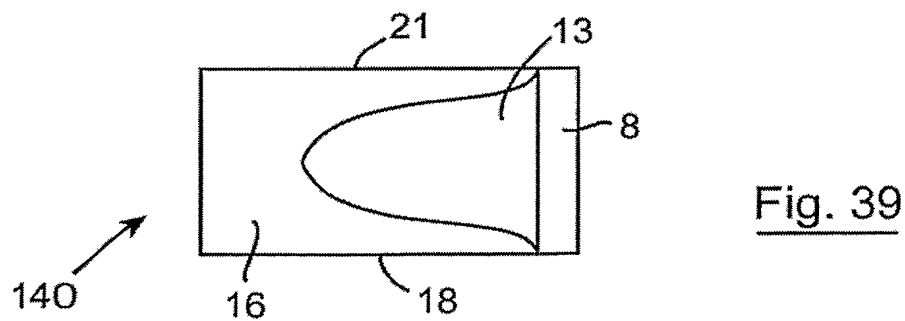
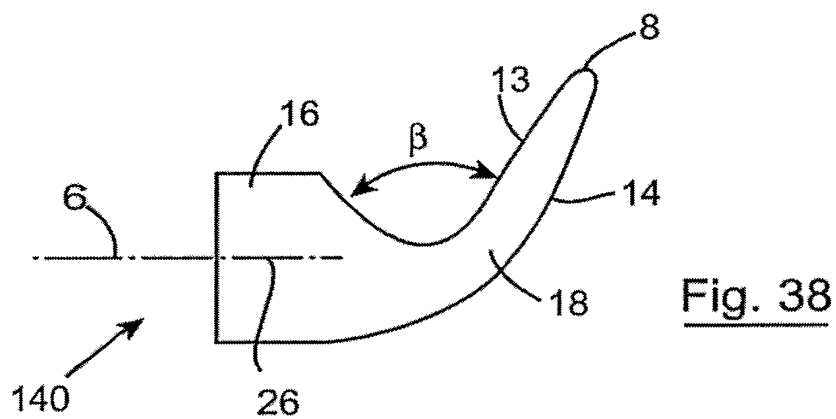
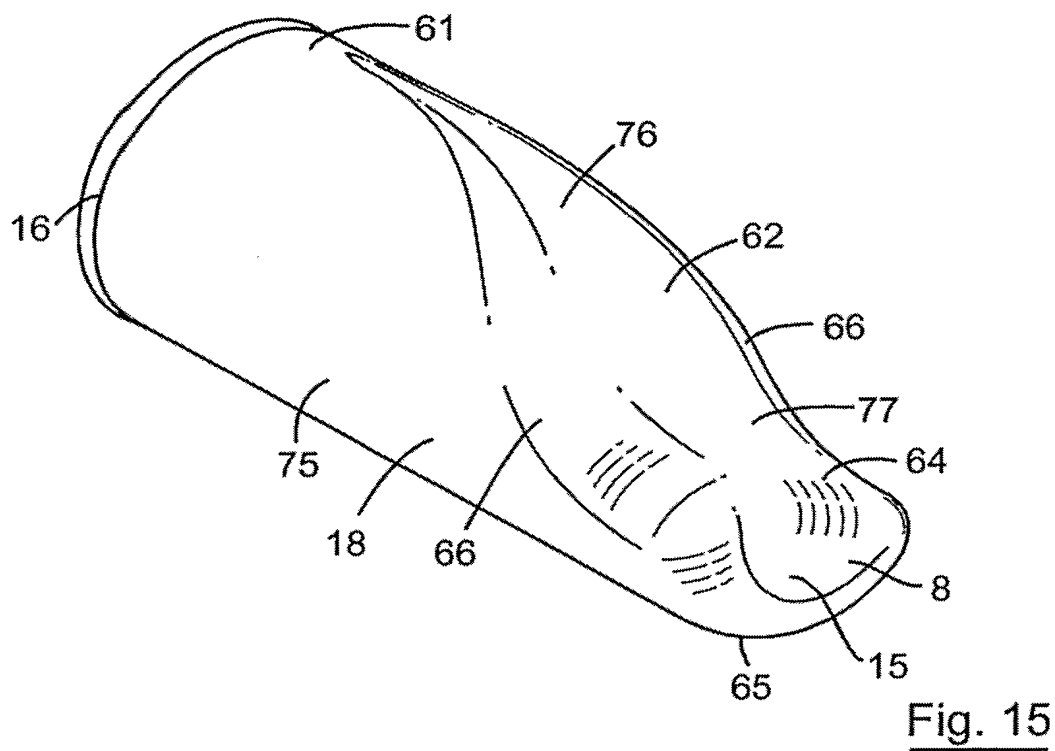
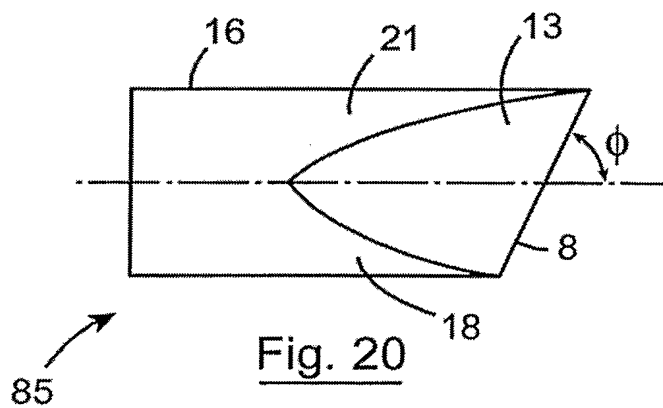
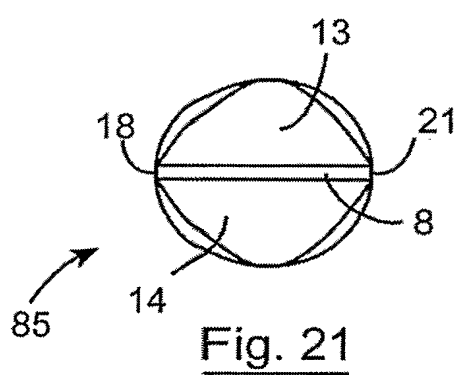
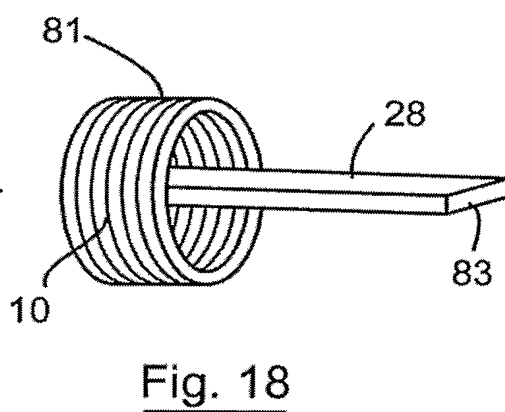
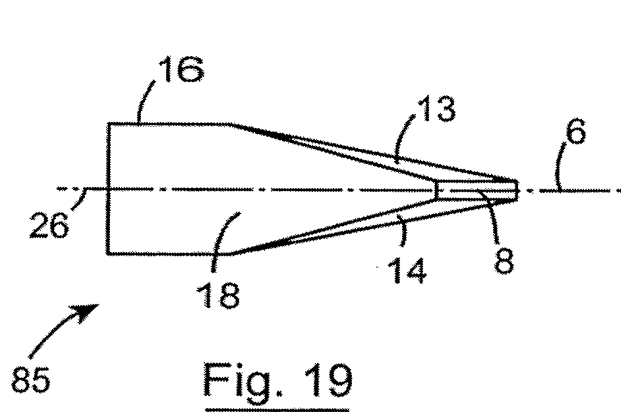
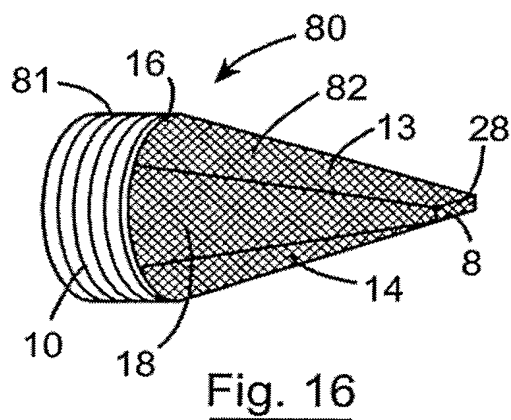
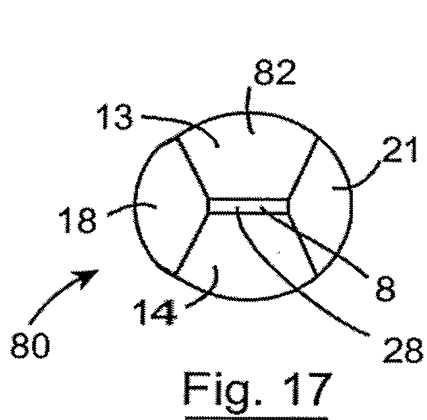


Fig. 10









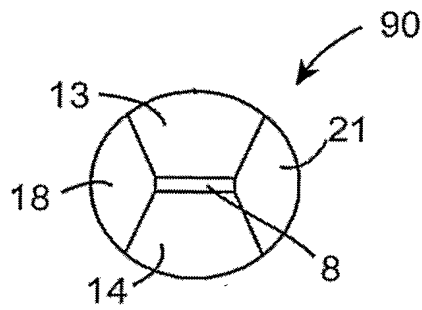


Fig. 23

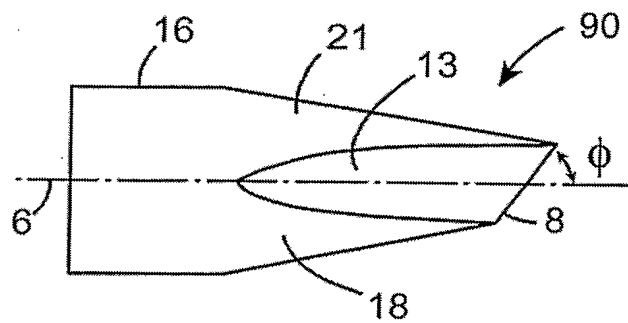


Fig. 22

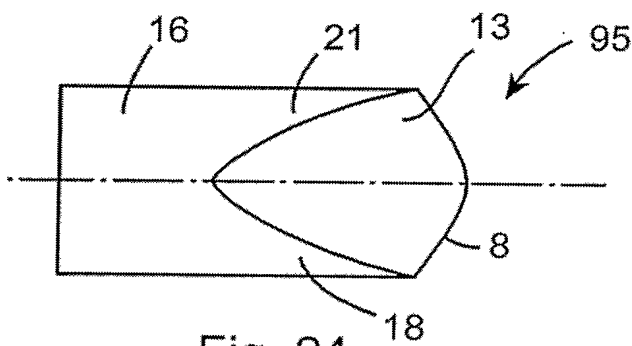


Fig. 24

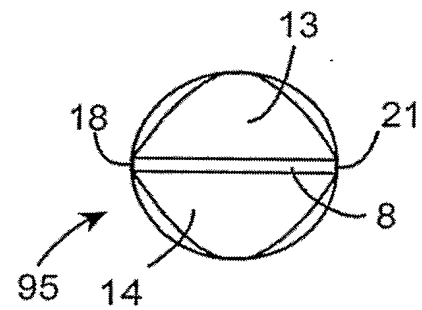


Fig. 25

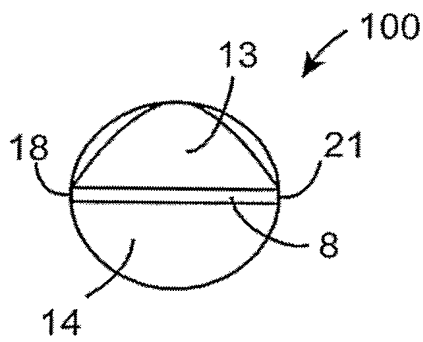


Fig. 27

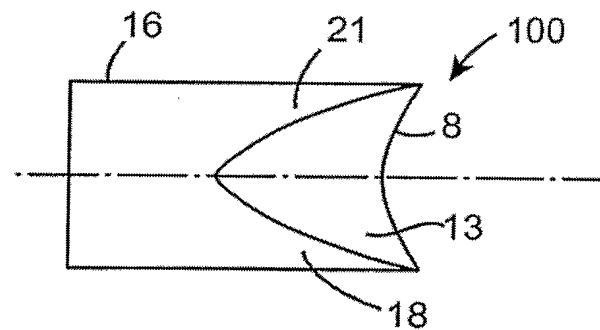


Fig. 26

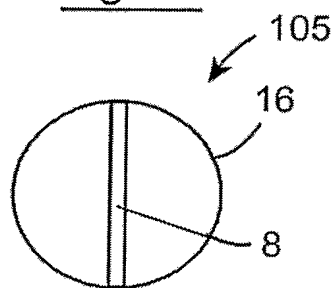


Fig. 29

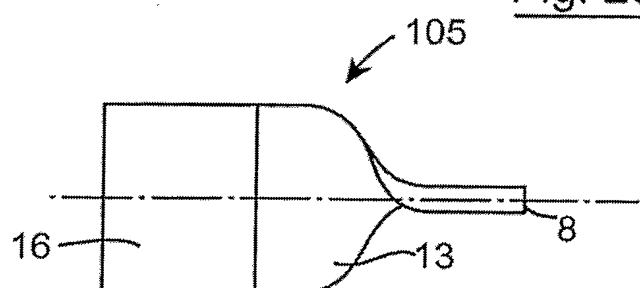


Fig. 28

12 / 12

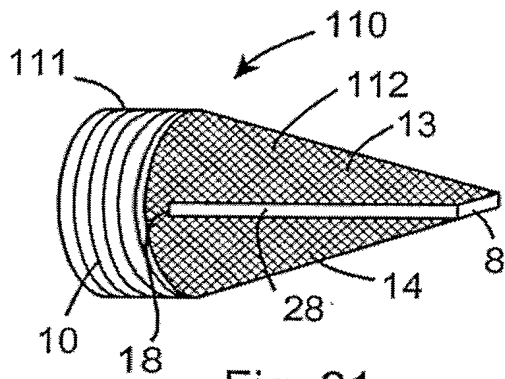


Fig. 31

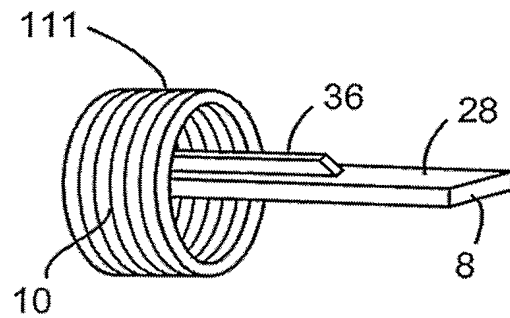


Fig. 32

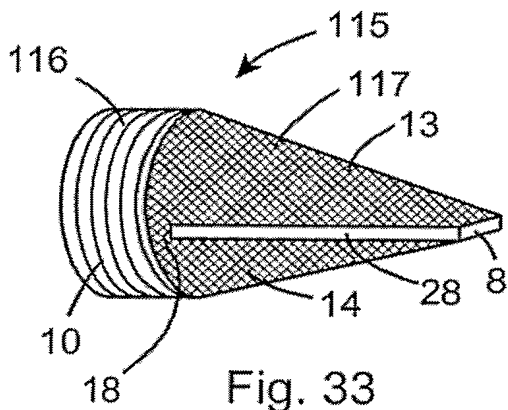


Fig. 33

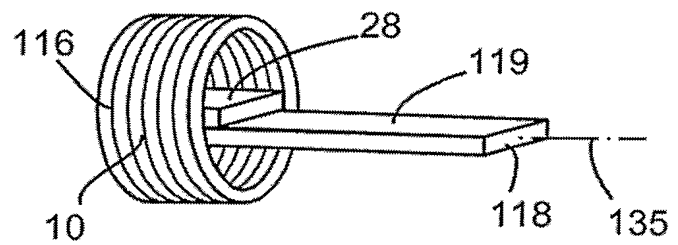


Fig. 34

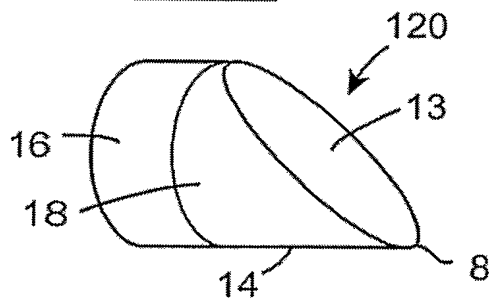


Fig. 35

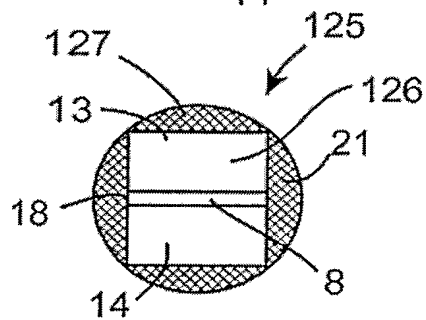


Fig. 37

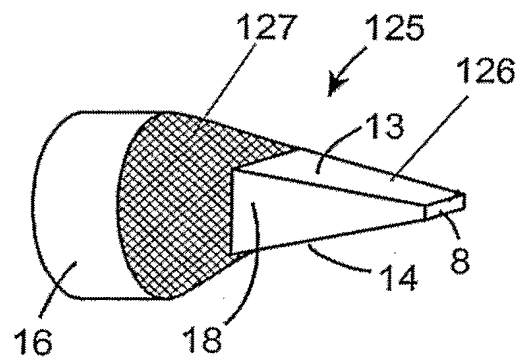


Fig. 36